

# 离散时间傅里叶变换 (DTFT)

宋晨阳 计 86

## 1 DTFT 的引入、定义与计算方法

前面我们已经知道，抽样信号与频谱函数的公式依次为：

$$\hat{f}(t) = \sum_{n=-\infty}^{\infty} f(nT)\delta(t - nT)$$
$$\hat{F}(\omega) = \frac{1}{T} \sum_{m=-\infty}^{\infty} \textcircled{F(\omega - m\omega_s)}$$

满足奈奎斯特采样定理时，在奈奎斯特区间  $-\omega_s/2 \leq \omega \leq \omega_s/2$  内，有：

$$T\hat{F}(\omega) = f(\omega)$$

不满足采样定理时，奈奎斯特区间内有其他部分“扩展”过来的频谱“密度”分布，上述等式不成立（等于改为约等于）。

基于连续信号的 FT 公式，我们可以用类似的方法定义离散时域信号  $\hat{f}(t)$  的 FT：

$$\hat{F}(\omega) = \sum_{n=-\infty}^{\infty} f(nT)e^{-j\omega nT}$$

仅使用抽样值的序列  $f(nT)$ ，即可计算出理想抽样信号的频谱密度函数。从序列值求出的频谱密度函数仍然是周期函数。

上述变换的逆变换：

$$f(nT) = \frac{1}{\omega_s} \int_{-\omega_s/2}^{\omega_s/2} \hat{F}(\omega)e^{jn\omega T} d\omega$$

上述公式中， $T$  为采样时间间隔， $\omega_s$  为采样角频率，为常量。

满足采样定理时，奈奎斯特区间内的 FT 频谱为：

$$F(\omega) = T\hat{F}(\omega) = T \sum_{n=-\infty}^{\infty} f(nT)e^{-j\omega nT} \quad \omega \in \left[-\frac{\omega_s}{2}, \frac{\omega_s}{2}\right]$$

**DTFT 的频率归一化：**

为了方便起见，将采样频率“归一”，即将具体的物理时间抽象为单位时间，在数学上用 1 表示它。

**数字信号：**时间间隔归一的离散信号（序列）。

**数字频谱：**数字信号（序列）DTFT 的归一化频谱。

我们对  $\hat{F}(\omega)$  的公式做如下修改，将模拟频率变为数字频率：

$$f(nT) \rightarrow x(n), \omega T \rightarrow \omega$$

就可以得到归一化（ $T = 1$ ）后的 DTFT 与 IDTFT 公式：

**DTFT:**

$$X(\omega) = DTFT[x(n)] = \sum_{n=-\infty}^{\infty} x(n)e^{-jn\omega}$$

**IDTFT:**

$$x(n) = \frac{1}{2\pi} \int_{-\pi}^{\pi} X(\omega)e^{j\omega n} d\omega$$

**模拟频率与数字频率：**

记连续时间傅里叶变换 CTFT 得到的模拟频率是  $\Omega$ ，DTFT 引入归一化时间后，变换结果是数字频率  $\omega$ 。模拟频率的奈奎斯特区间为  $[-\Omega_s/2, \Omega_s/2]$ ，数字频率的奈奎斯特区间为  $[-\pi, \pi]$ 。两种频率的关系为：

$$\omega = \Omega T_s = 2\pi f/f_s = \Omega/f_s, \quad \Omega = \omega f_s$$

**注意：** $\hat{F}(\omega)$  中的频率是模拟频率，DTFT 结果中的频率是数字频率，从本章开始所讨论的问题，如 DFT、 $x(n)$ ，一般都是在数字频率的范畴内讨论。举个例子，如果一道题说信号  $x(n) = \cos(\omega n)$ ，这里的  $\omega$  就是数字频率。

**频率归一化的好处：**

- ▶ 频谱函数主周期内的形状，如果不考虑高低变化的话，则形状与采样间隔无关。
- ▶ 采样频率归一化使频谱重复间隔也会统一成  $2\pi$ 。考虑到离散信号频谱总是周期的函数，所以研究时可以对采样信号的实际频谱的周期进行抽象化的处理。抽象为  $2\pi$  是很方便的。
- ▶ 在计算机程序中，计算过程可以只考虑数值表示，而不用考虑信号样本间的真实时间间隔。从算法效果上看，这不会影响结果的正确性，反而还会提高算法应用的方便性。

## 2 DTFT 的性质

**周期性：**

$$X(\omega) = X(\omega + 2\pi)$$

线性性:

$$DTFT \left[ \sum_k a_k \cdot x_k(n) \right] = \sum_k a_k \cdot DTFT[x_k(n)]$$

时域平移:

$$DTFT[x(n - n_0)] = e^{-j\omega n_0} X(\omega)$$

频域平移:

$$DTFT[e^{j\omega_0 n} x(n)] = X(\omega - \omega_0)$$

反褶:

$$DTFT[x(-n)] = X(-\omega)$$

共轭:

$$DTFT[x^*(n)] = X^*(-\omega)$$

时域扩展及对应的 DTFT:

$$x_{(a)}(n) = \begin{cases} x\left(\frac{n}{a}\right), & \frac{n}{a} \in Z \\ 0, & \text{others} \end{cases} \quad (a \in Z, a \neq 0)$$

$$DTFT[x_{(a)}(n)] = X(a\omega), \quad a \in Z, a \neq 0$$

频域微分:

$$DTFT[nx(n)] = j \left[ \frac{d}{d\omega} X(\omega) \right]$$

时域卷积:

$$DTFT[x_1(n) * x_2(n)] = X_1(\omega) \cdot X_2(\omega)$$

频域卷积 (频谱是周期的, 积分要限制在一个周期内):

$$DTFT[x_1(n) \cdot x_2(n)] = \frac{1}{2\pi} X_1(\omega) \otimes X_2(\omega) = \frac{1}{2\pi} \int_{-\pi}^{\pi} X_1(\omega') X_2(\omega - \omega') d\omega'$$

圆周卷积 (圆卷积) —— 对周期函数卷积的定义:

周期为  $N$  的离散信号的卷积:

$$x(n) \otimes y(n) = \sum_{m=0}^{N-1} x(m) y(n - m)$$

周期为  $T$  的连续信号的卷积:

$$x(t) \otimes y(t) = \int_T x(t') y(t - t') dt'$$

在频谱密度函数上的应用：

$$X(\omega) \otimes W(\omega) = \int_{-\pi}^{\pi} X(\omega') W(\omega - \omega') d\omega'$$

帕斯瓦尔定理：

$$\sum_{n=-\infty}^{\infty} |x(n)|^2 = \frac{1}{2\pi} \int_{-\pi}^{\pi} |X_{\omega}(\omega)|^2 d\omega$$

### 3 时域加窗信号的 DTFT 与有限序列 DTFT 谱的分辨率

对于离散信号，我们施加长为 L 的矩形窗：

$$W(n) = \begin{cases} 1, & 0 \leq n \leq L-1 \\ 0, & n \geq L \end{cases}$$

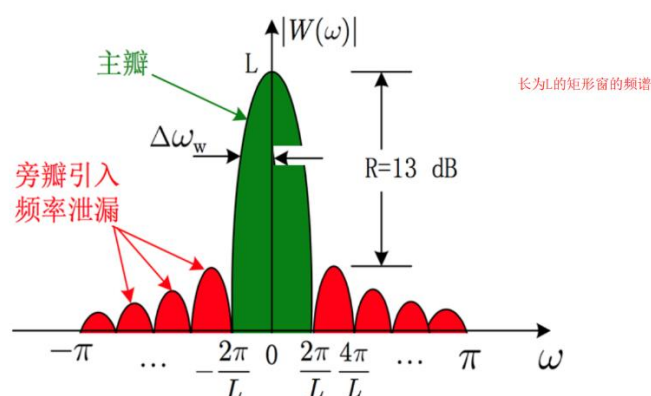
加窗后的信号：

$$x_L(n) = x(n)W(n) = \begin{cases} x(n), & 0 \leq n \leq L-1 \\ 0, & n \geq L \end{cases}$$

加窗之后的 DTFT 如下：

$$X_L(\omega) = \sum_{n=0}^{L-1} x(n)e^{-j\omega n}$$

长为 L 的窗函数  $W(n)$  的 DTFT 谱如下图所示：



主瓣所在的频率范围是  $[-\frac{2\pi}{L}, \frac{2\pi}{L}]$ ，主瓣宽度为  $2\pi/L$ ，过零点位置  $k \cdot \frac{2\pi}{L} (k \neq 0)$

现在我们要分辨频率为  $\omega_1, \omega_2$  的分量，记  $\Delta \omega = \omega_1 - \omega_2$ ，则两个分量的频率之差不能小于主瓣宽度，即序列长度要满足：

$$L \geq \frac{2\pi}{\Delta \omega}$$

**不确定原理：**序列加窗后，序列频谱中可分辨的最小频率间隔由数据长度决定，即窗函数的时间长度。

**频率泄露：**序列加窗后，序列频谱中出现了高频分量，它们是由于矩形窗两个边缘处的突变所造成的。

**模拟频率位置的精度：**用 DFT 计算信号的频谱时，峰值与信号真实频率在位置上误差，设这个误差的浮动区间长度是  $\Delta f$ ，由上面的条件，结合模拟频率与数字频率的关系，可以得到：

$$\Delta f \geq \frac{f_s}{L}, L \geq \frac{f_s}{\Delta f}$$

## 4 关于 DTFT 的一些神构造

### 4.1 求 $DTFT[x(2n+1)]$

$$e^{jm\pi} = (-1)^m$$

$$\begin{aligned} DTFT[x(2n+1)] &= \sum_{m \text{ odd}} x(m) e^{-j\frac{m-1}{2}\omega} \\ &= \sum_{m=-\infty}^{\infty} \frac{1}{2} [x(m) - (-1)^m x(m)] e^{-j\frac{m-1}{2}\omega} \\ &= \frac{1}{2} e^{\frac{1}{2}j\omega} \sum_{m=-\infty}^{\infty} [x(m) e^{-j\frac{m}{2}\omega} - x(m) e^{jm\pi - j\frac{m}{2}\omega}] \\ &= \frac{1}{2} e^{\frac{1}{2}j\omega} \left[ X\left(\frac{\omega}{2}\right) - X\left(\frac{\omega}{2} - \pi\right) \right] \end{aligned}$$

### 4.2 求 $DTFT[x(4n+i)]$ 相关：

$$\begin{aligned} \frac{e^{j\frac{m\pi}{2}} - e^{-j\frac{m\pi}{2}}}{2j} &= \sin \frac{m\pi}{2} = \begin{cases} 0, m \text{ is even} \\ 1, m = 4n+1 \\ -1, m = 4n+3 \end{cases} \\ \sum_{(m-i)|4} x(m) e^{-j\frac{m-i}{4}\omega} &= \sum_{m=-\infty}^{\infty} x(m) \sin \frac{m\pi}{2} = \dots \end{aligned}$$